

УПРУГОЕ РАВНОВЕСИЕ ИЗОТРОПНОЙ ПЛОСКОСТИ С ДВОЯКОПЕРИОДИЧЕСКОЙ СИСТЕМОЙ ВКЛЮЧЕНИЙ

Э. И. Григолюк, Л. А. Фильштинский

(Москва)

В статье обобщается решение задачи об упругом равновесии изотропной плоскости, ослабленной двоякопериодической системой одинаковых круговых отверстий, на случай, когда в отверстия впаиваны упругие шайбы из инородного материала. Полученные результаты используются для решения задачи приведения системы «двоякопериодическая решетка — шайбы» к эквивалентной сплошной плоскости. Помимо точных соотношений, определяющих приведенные упругие параметры эквивалентной сплошной плоскости, получены также компактные приближенные соотношения.

§ 1. Пусть $\omega_1 = 2$; $\omega_2 = 2le^{i\alpha}$ ($l > 0$, $0 < \alpha \leq \pi/2$) — основные периоды двоякопериодической решетки; λ — радиус упругой шайбы; L_{mn} — контур спая решетки с шайбой, центр которой совмещен с точкой $P = m\omega_1 + n\omega_2$ ($m, n = 0, \pm 1, \pm \dots$); D и $D^- = UD_m^-$ — области, занятые собственно решеткой и шайбами соответственно; $L = UL_{mn}$ — граница области D (рис. 1).

Обозначим модуль упругости первого рода, коэффициент Пуассона и модуль сдвига ма-

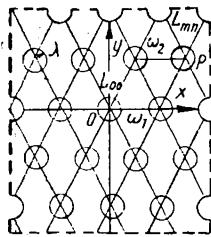


Рис. 1.

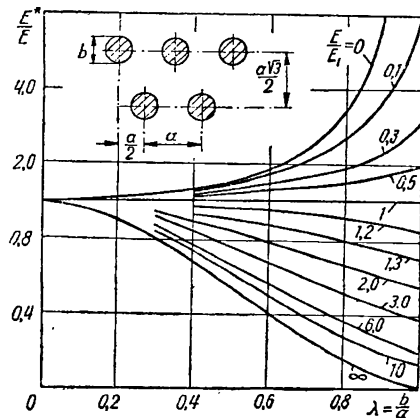


Рис. 2.

териала решетки через E , μ , G , а такие же величины для шайбы через E_1 , μ_1 , G_1 . Наша задача заключается в определении упругого равновесия системы «решетка — шайбы» при средних напряжениях в решетке

$$\sigma_x^0 = \sigma_1; \quad \sigma_y^0 = \sigma_2; \quad \tau_{xy}^0 = \tau_{12} = 0. \quad (1.1)$$

При действии растягивающих напряжений (1.1) за счет различия в упругих свойствах материала решетки и шайбы, на последнюю со стороны решетки действует некоторая самоуравновешенная система сил

$N - iT$. Предположим для простоты, что решетка симметрична относительно осей x и y . Рассматривая, вследствие периодичности задачи, шайбу с центром в начале координат и полагая, что нагрузка $N - iT$, действующая на контур L_{00} со стороны решетки, может быть разложена в ряд Фурье

$$N - iT = \sum_{k=-\infty}^{\infty} A_{2k} e^{2ki\theta}; \quad \text{Im } A_{2k} = 0, \quad (1.2)$$

найдем [2]

$$\Phi^*(z) = \frac{1}{2} A_0 + \sum_{k=0}^{\infty} A_{-2k} \left(\frac{z}{\lambda}\right)^{2k}; \quad (1.3)$$

$$\Psi^*(z) = - \sum_{k=0}^{\infty} [(2k+1) A_{-2k-2} + A_{2k+2}] \left(\frac{z}{\lambda}\right)^{2k}.$$

Здесь $\Phi^*(z)$ и $\Psi^*(z)$ — регулярные в D_{00} функции Колосова, соответствующие шайбе с контуром L_{00} .

Используя (1.3) и формулы работы [2]

$$2G(u + iv) = \kappa\varphi(z) - z\overline{\Phi(z)} - \overline{\Psi(z)}; \quad \varphi'(z) = \Phi(z); \quad \psi'(z) = \Psi(z), \quad (1.4)$$

выразим на L_{00} касательную производную от смещений через нагрузку

$$-2G_1 i e^{i\theta} \frac{d}{ds} (u^* - iv^*) = A_0 \frac{1 - \kappa_1}{2} + \sum_{k=1}^{\infty} A_{2k} e^{2ki\theta} - \sum_{k=1}^{\infty} \kappa_1 A_{-2k} e^{-2ki\theta}, \quad (1.5)$$

где u^* , v^* — смещения точек контура шайбы; $\kappa_1 = (3 - \mu_1)/(1 + \mu_1)$; $G_1 = E_1/2(1 + \mu_1)$.

На решетку со стороны шайбы действует та же система сил $N - iT$. Кроме того, в решетке имеют место средние напряжения (1.1). Функции Колосова — Мусхелишвили, соответствующие решетке, с учетом (1.1) можно представить в виде [4]

$$\Phi_s(z) = \frac{\sigma_1 + \sigma_2}{4} + \Phi(z); \quad \Psi_s(z) = \frac{\sigma_2 - \sigma_1}{2} + \Psi(z);$$

$$\Phi(z) = \alpha_0 + \sum_{k=0}^{\infty} \alpha_{2k+2} \frac{\lambda^{2k+2} \mathfrak{P}^{(2k)}(z)}{(2k+1)!}; \quad \text{Im } \alpha_{2k} = \text{Im } \beta_{2k} = 0; \quad (1.6)$$

$$\Psi(z) = \beta_0 + \sum_{k=0}^{\infty} \beta_{2k+2} \frac{\lambda^{2k+2} \mathfrak{P}^{(2k)}(z)}{(2k+1)!} - \sum_{k=0}^{\infty} \alpha_{2k+2} \frac{\lambda^{2k+2} Q^{(2k+1)}(z)}{(2k+1)!}.$$

Здесь

$$\mathfrak{P}(z) = \frac{1}{z^2} + \sum'_{m,n} \left[\frac{1}{(z-P)^2} - \frac{1}{P^2} \right];$$

$$Q(z) = \sum'_{m,n} \left[\frac{\bar{P}}{(z-P)^2} - 2z \frac{\bar{P}}{P^3} - \frac{\bar{P}}{P^2} \right];$$

$\mathfrak{P}(z)$ — эллиптическая функция Вейерштрасса [1]; $Q(z)$ — специальная мероморфная функция [3, 4].

Краевое условие первой основной задачи для функций $\Phi(z)$ и $\Psi(z)$ на L_{00} запишется так:

$$\Phi(\tau) + \overline{\Phi(\tau)} - [\tau\Phi'(\tau) + \Psi(\tau)]e^{2i\theta} = \sum_{k=-\infty}^{\infty} A'_{2k}e^{2ki\theta}, \quad \tau \in L_{00}, \quad (1.7)$$

причем

$$A'_0 = A_0 - \frac{\sigma_1 + \sigma_2}{2}; \quad A'_2 = A_2 - \frac{\sigma_1 - \sigma_2}{2}; \quad A_{2k} = A'_{2k} \\ (k = -1, \pm 2, \pm, \dots).$$

Составляя условия сопряжения решетки и шайбы по смещениям с учетом соотношений (1.5), приходим ко второй основной задаче для решетки

$$-\kappa\overline{\Phi(\tau)} + \Phi(\tau) - [\tau\Phi'(\tau) + \Psi(\tau)]e^{2i\theta} = \sum_{k=-\infty}^{\infty} A_{2k}^*e^{2ki\theta}, \quad \tau \in L_{00}, \quad (1.8)$$

где

$$A_{2k}^* = (\kappa - 1) \frac{\sigma_1 + \sigma_2}{4} - A_0 \frac{\kappa_1 - 1}{2} \frac{G}{G_1}; \quad A_{-2k}^* = -\kappa_1 \frac{G}{G_1} A_{-2k} \\ (k = 1, 2, \dots);$$

$$A_2^* = \frac{\sigma_2 - \sigma_1}{2} + \frac{G}{G_1} A_2; \quad A_{2k}^* = \frac{G}{G_1} A_{2k} \quad (k = 2, 3, \dots).$$

Из условий совместности краевых задач (1.7) и (1.8), решенных в работе [4], определяются параметры нагрузки A_{2k} ($k = 0, \pm 1, \pm, \dots$). Таким образом, решая бесконечные системы, соответствующие (1.7) и (1.8), и приравнявая затем эти решения друг к другу, можно получить систему алгебраических уравнений относительно величин A_{2k} ($k = 0, \pm 1, \pm, \dots$). Однако этот путь весьма трудоемок и приводит к бесконечной системе уравнений, содержащих как величины A_{2k} , так и величины A_{-2k} .

Для того чтобы получить бесконечную систему, вполне идентичную системе, соответствующей первой краевой задаче для решетки, приведем условие (1.8) к виду (1.7)

$$\Phi(\tau) + \overline{\Phi(\tau)} - [\tau\Phi'(\tau) + \Psi(\tau)]e^{2i\theta} = \sum_{k=-\infty}^{\infty} A_{2k}^*e^{2ki\theta} + (1 + \kappa)\overline{\Phi(\tau)}. \quad (1.9)$$

Приравняв левые части (1.7) и (1.9), находим

$$\sum_{k=-\infty}^{\infty} A'_{2k}e^{2ki\theta} = \sum_{k=-\infty}^{\infty} A_{2k}^*e^{2ki\theta} + (1 + \kappa)\overline{\Phi(\tau)}. \quad (1.10)$$

Теперь необходимо использовать разложение $\Phi(z)$ в ряд Лорана в окрестности начала координат

$$\Phi(z) = \sum_{k=0}^{\infty} \alpha_{2k+2} \left(\frac{\lambda}{z}\right)^{2k+2} + \sum_{k=0}^{\infty} \alpha_{2k+2}\lambda^{2k+2} \sum_{j=0}^{\infty} r_{j,k}z^{2j}, \quad (1.11)$$

где

$$r_{j,k} = \frac{(2j + 2k + 1)! g_{j+k+1}}{(2j)!(2k + 1)! 2^{2j+2k+2}}; \quad g_j = \sum'_{m,n} \frac{1}{T^{2j}};$$

$$T = 0,5P = m + ne^{i\alpha}; \quad g_1 = 0.$$

Полагая $z = \tau = \lambda e^{i\theta}$ и подставляя (1.11) в (1.10), получаем после обычных преобразований соотношения

$$A_{2j+2} = \frac{1 + \kappa}{1 - G/G_1} \alpha_{2j+2}; \quad A_{-2j} = \frac{1 + \kappa}{1 + \kappa_1 G/G_1} \sum_{k=0}^{\infty} r_{j,k} \lambda^{2j+2k+2} \alpha_{2k+2};$$

$$A_0 \left(1 - \frac{\kappa_1 - 1}{2} \frac{G}{G_1} \right) = (1 + \kappa) \left(\alpha_0 + \frac{\sigma_1 + \sigma_2}{4} + \sum_{k=1}^{\infty} r_{0,k} \lambda^{2k+2} \alpha_{2k+2} \right), \quad (1.12)$$

где постоянная α_0 имеет вид [4]

$$\alpha_0 = K_0 \alpha_2 \lambda^2 + K_1 \beta_2 \lambda^2; \quad (1.13)$$

$$K_0 = \frac{\delta_1}{\omega_1} - 2K_1; \quad K_2 = \frac{\bar{\gamma}_1}{\omega_1} + 2K_1; \quad K_3 = K_0; \quad (1.14)$$

$$K_1 = \frac{\pi i}{\omega_1 \omega_2 - \omega_2 \omega_1}; \quad \delta_1 = 2\zeta \left(\frac{\omega_1}{2} \right); \quad \gamma_1 = 2Q \left(\frac{\omega_1}{2} \right) - \bar{\omega}_1 \mathfrak{P} \left(\frac{\omega_1}{2} \right);$$

$\zeta(z)$ — дзета-функция Вейерштрасса.

Используя (1.11), (1.12) и (1.14), легко определяем

$$A_0 = \frac{\sigma_1 + \sigma_2}{4} e_0 + \sum_{k=0}^{\infty} e_{0,k} \lambda^{2k+2} A_{2k+2}; \quad (1.15)$$

$$A_{-2j} = \frac{1 - G/G_1}{1 + \kappa_1 G/G_1} \sum_{k=0}^{\infty} \frac{(2j + 2k + 1)! g_{j+k+1} \lambda^{2j+2k+2}}{(2j)! (2k + 1)! 2^{2j+2k+2}} A_{2k+2}.$$

Здесь

$$e_0 = \frac{1 + \kappa}{(1 - 2K_1 \lambda^2) e}; \quad e_{00} = K_0 \frac{1 - G/G_1}{(1 - 2K_1 \lambda^2) e};$$

$$e_{0,k} = r_{0,k} \frac{1 - G/G_1}{(1 - 2K_1 \lambda^2) e}; \quad e = \frac{1 + \kappa}{2(1 - 2K_1 \lambda^2)} + \frac{\kappa_1 - 1}{2} \frac{G}{G_1} - \frac{\kappa - 1}{2}.$$

Выпишем бесконечные системы уравнений, соответствующие краевым задачам (1.7) и (1.8), в виде

$$\alpha_{2j+2} = \sum_{k=0}^{\infty} a_{j,k} \alpha_{2k+2} + b'_j; \quad (1.16) \quad \alpha_{2j+2} = \sum_{k=0}^{\infty} a^*_{j,k} \alpha_{2k+2} + b^*_j. \quad (1.17)$$

Значения величин $a_{j,k}$, $a^*_{j,k}$, b'_j и b^*_j даны в работе [4]. Для определения $a_{j,k}$ и b'_j необходимо положить $\varepsilon = 1$, для величин $a^*_{j,k}$ и b^*_j величина $\varepsilon = -\kappa$. Кроме этого, вместо A_{2k} ($k = 0, \pm 1, \pm \dots$) следует в выражение для b'_j подставить величины A^*_{2k} из (1.7), а в выражение для b^*_j — величины A_{2k} , определенные в (1.8).

Умножив почленно систему (1.17) на множитель $G_1 \kappa / G \kappa_1$ и сложив с (1.16), получим

$$\alpha_{2j+2} \left(1 - \frac{\kappa G_1}{\kappa_1 G} \right) = \sum_{k=0}^{\infty} \left(a_{j,k} - \frac{\kappa G_1}{\kappa_1 G} a^*_{j,k} \right) \alpha_{2k+2} + b'_j - \frac{\kappa G_1}{\kappa_1 G} b^*_j. \quad (1.18)$$

Бесконечная система (1.18) уже не содержит величин A_{-2k} ($k = 1, 2, \dots$).

Подставив вместо b_j и b_j^* их выражения и заменив везде α_{2k} на A_{2k} по соотношениям (1.12), приходим к разрешающей бесконечной системе алгебраических уравнений относительно параметров нагрузки A_{2k}

$$A_{2j+2} = \sum_{k=0}^{\infty} S_{j,k} A_{2k+2} + T_j \quad (j = 0, 1, \dots). \quad (1.19)$$

Здесь

$$S_{j,k} = (2j+1) \lambda^{2j+2k+2} \frac{S_{j,k}}{\gamma}; \quad T_j = \frac{t_j}{\gamma};$$

$$s_{j,k} = \frac{1 - G/G_1}{1 + \kappa} \left(\gamma_{j,k} + \frac{G_1}{\kappa_1 G} \gamma_{j,k}^* + d_{j,k} \right); \quad \gamma_{j,k} = \gamma_{j,k}(1); \quad \gamma_{j,k}^* = \gamma_{j,k}(-\kappa);$$

$$d_{00} = \lambda^2 K_0^2 \eta \left(\frac{G}{G_1} \right); \quad d_{0,k} = \lambda^2 K_0 \frac{g_{k+1}}{2^{2k+2}} \eta \left(\frac{G}{G_1} \right); \quad d_{j,k} = \lambda^2 \frac{g_{j+1} g_{k+1}}{2^{2j+2k+4}} \eta \left(\frac{G}{G_1} \right);$$

$$t_0 = \frac{\sigma_2 - \sigma_1}{2} \left(1 + \frac{G_1}{\kappa_1 G} \right) + \lambda^2 K_0 \frac{\sigma_1 + \sigma_2}{4} \eta_1 \left(\frac{G}{G_1} \right);$$

$$t_j = \frac{\sigma_1 + \sigma_2}{4} \frac{(2j+1) g_{j+1} \lambda^{2j+2}}{2^{2j+2}} \eta_1 \left(\frac{G}{G_1} \right);$$

$$\eta \left(\frac{G}{G_1} \right) = \left[\frac{\kappa_1 - 1}{\kappa_1} \frac{1}{1 + (\kappa - 1) K_1 \lambda^2} - \frac{2}{1 - 2K_1 \lambda^2} \right] \times$$

$$\times \left[1 + (1 - 2K_1 \lambda^2) \left(\frac{\kappa - 1}{\kappa + 1} - \frac{\kappa_1 - 1}{\kappa + 1} \frac{G}{G_1} \right) \right]^{-1};$$

$$\eta_1 \left(\frac{G}{G_1} \right) = \left(1 + \frac{G_1}{\kappa_1 G} \right) \left[(\kappa_1 - 1) \frac{G}{G_1} - (\kappa - 1) \right] \times$$

$$\times \left[1 + (\kappa - 1) \lambda^2 K_1 + (\kappa_1 - 1) (1 - 2K_1 \lambda^2) \frac{G}{2G_1} \right]^{-1};$$

$$\gamma = \frac{(1 - G/G_1) (1 - \kappa G_1/\kappa_1 G)}{1 + \kappa} - \frac{1 + \kappa_1}{\kappa_1};$$

величины $\gamma_{j,k}$ (ϵ) даны в работе [4].

После определения A_{2j+2} из (1.19) найдем α_{2j+2} и A_{-2j} из соотношений (1.12). Коэффициенты β_{2j+2} можно вычислять по равенству

$$(1 + \kappa) \beta_{2j+4} = (2j+3) A_{2j+2} \left(1 - \frac{G}{G_1} \right) - A_{-2j-2} \left(\kappa - \frac{\kappa_1 G}{G_1} \right),$$

$$j = 0, 1, \dots \quad (1.20)$$

Формула для коэффициента β_2 имеет аналогичный вид. Таким образом, построение решения закончено.

§ 2. В качестве приложения полученных результатов, рассмотрим важную для инженерной практики задачу приведения для решетки. Задача заключается в определении приведенных упругих параметров некоторой сплошной плоскости, имеющей при прочих равных условиях ту же жест-

кость на растяжение, что и решетка. При этом сплошная плоскость может оказаться и не изотропной.

Строгая постановка задачи приведения и ее решение даны в работе [4]. Ниже выписаны некоторые соотношения для приведенных упругих параметров

$$\frac{E_1^*/(1-\mu_1^*)}{E/(1-\mu)} = \left[1 + \frac{4K_1\beta_2 - (\delta_1 + 4K_1)\alpha_2}{1-\mu} \lambda^2 \right]^{-1}; \quad (2.1)$$

$$\frac{E_1^*/(1+\mu_1^*)}{E/(1+\mu)} = \left[1 + 4K_1\beta_2\lambda^2 - \frac{\alpha_2(\delta_1 + 4K_1)}{1+\mu} \lambda^2 \right]^{-1}; \quad (2.2)$$

$$\frac{E}{E_2^*} - \frac{E}{E_1^*} = \alpha_2\lambda^2 \left[\frac{16\pi i}{\omega_1\omega_2 - \omega_2\omega_1} + 2(1+\mu) \frac{\bar{\delta}_1\omega_2 - \bar{\delta}_2\omega_1}{\omega_1\omega_2 - \omega_1\omega_2} \right]. \quad (2.3)$$

Здесь E_1^* и E_2^* — модули упругости первого рода эквивалентной в общем случае ортотропной сплошной плоскости в направлении главных осей x и y ; μ_1^* — коэффициент поперечного сжатия в направлении оси y ; E и μ — соответствующие упругие константы материала решетки; величины K_1 и δ_1 определены в (1.14); δ_2 — связано с δ_1 соотношением Лежандра $\delta_1\omega_2 - \delta_2\omega_1 = 2\pi i$; α_2 и β_2 — первые коэффициенты, фигурирующие в представлениях функций Φ и Ψ (1.6).

Заметим, что в формулы (2.1) и (2.3) необходимо подставлять величины α_2 и β_2 , соответствующие решению задачи при средних напряжениях $\sigma_1 = \sigma_2 = 1$, $\tau_{12} = 0$, а в соотношения (2.2) — величины α_2 и β_2 из решения задачи при средних напряжениях $\sigma_1 = -\sigma_2 = 1$, $\tau_{12} = 0$. Для правильных решеток (правильной треугольной $\omega_1 = 2$, $\omega_2 = 2e^{i\pi/3}$ и квадратной $\omega_1 = 2$, $\omega_2 = 2i$) формулы (2.1) — (2.3) существенно упрощаются.

На рис. 2, 3, 4, 5 и 6 нанесены результаты расчетов приведенных упругих параметров для правильных решеток. На рис. 2, 3 построены кривые

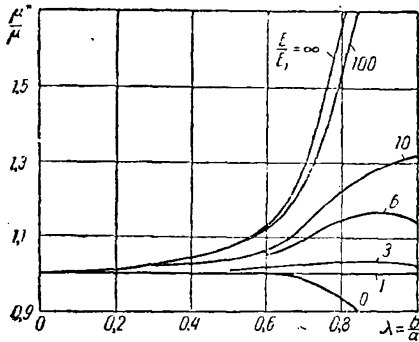


Рис. 3.

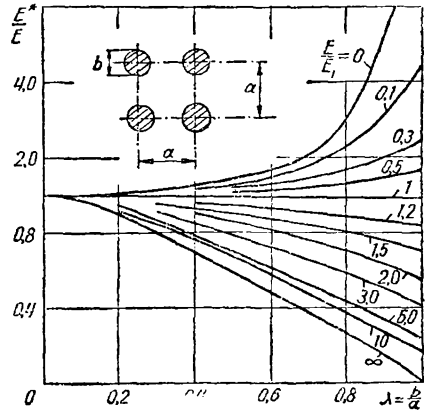


Рис. 4.

E^*/E и μ^*/μ для правильной треугольной решетки, на рис. 4, 5 и 6 — кривые E^*/E , μ^*/μ и G^*/G для квадратной решетки в функции от относительного размера области λ (отношение диаметра отверстия b к шагу a) при различных значениях параметра E/E_1 , где E — модуль упругости материала решетки, а E_1 — модуль упругости материала шайбы.

В расчетах принималось, что коэффициенты Пуассона материала шайбы и решетки одинаковы. В двух предельных случаях $E/E_1 \rightarrow 0$ (абсолютно жесткие шайбы) и $E/E_1 \rightarrow \infty$ (свободные от сил отверстия) получаем кривые, известные из работы [4].

§ 3. Из формул (2.1) — (2.3) следует, что при решении задачи приведения необходимо предварительно рассмотреть соответствующую двоякопериодическую задачу для решетки. Последнее не всегда легко сделать, так как приходится решать громоздкую систему уравнений.

С целью упрощения вычислений была предпринята попытка построения некоторой приближенной схемы вычисления приведенных упругих параметров.

Основная идея заключалась в подстановке в точные соотношения (2.1) — (2.3) приближенных значений величин α_2 и β_2 . Структура бесконечной системы (1.19) такова, что в рабочем диапазоне изменения $0 < \lambda \leq 0,8$ для

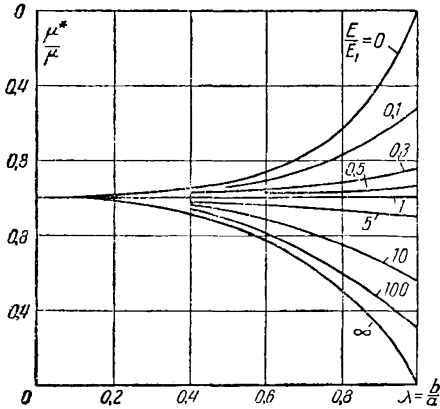


Рис. 5.

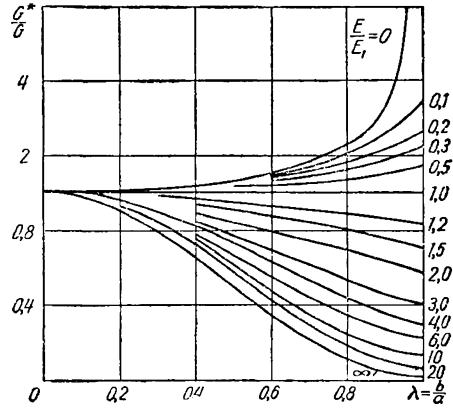


Рис. 6.

определения коэффициента α_2 достаточно урезать ее до двух, а иногда и до одного уравнения. Учет последующих уравнений системы с поправками в последующих коэффициентах не изменяет величины α_2 и β_2 . Таким путем удалось получить простые формулы, определяющие искомые величины с достаточной точностью. В качестве примера запишем формулу, определяющую приведенный модуль упругости при всестороннем растяжении E_i для случая правильной решетки

$$\frac{E_i^*}{E_i} = \frac{E^*/(1-\mu^*)}{E/(1-\mu)} = \frac{1-0,5(1-\mu)(1-2K_1\lambda^2)(1-G/G_1)}{1-0,5(1+\mu)(1-2K_1\lambda^2)(1-G_1/G)} \frac{G_1}{G},$$

где для треугольной решетки $K_1 = \pi/4\sqrt{3}$, а для квадратной решетки $K_1 = \pi/8$.

ЛИТЕРАТУРА

1. А х и з е р Н. И., Элементы теории эллиптических функций, ГИТТЛ, 1948.
2. М у с х е л и ш в и л и Н. И., Некоторые основные задачи магематической теории упругости, Изд-во АН СССР, 1954.
3. Н а т а н з о н В. Я., О напряжениях в растягиваемой пластинке, ослабленной одинаковыми отверстиями, расположенными в шахматном порядке, Матем сб. 42, № 5, 1935.
4. Ф и л ь ш т и н с к и й Л. А., Напряжения и смещения в упругой плоскости, ослабленной двоякопериодической системой одинаковых круговых отверстий, ПММ, 28, № 3, 1964.

Поступила
11.IX 1965 г.